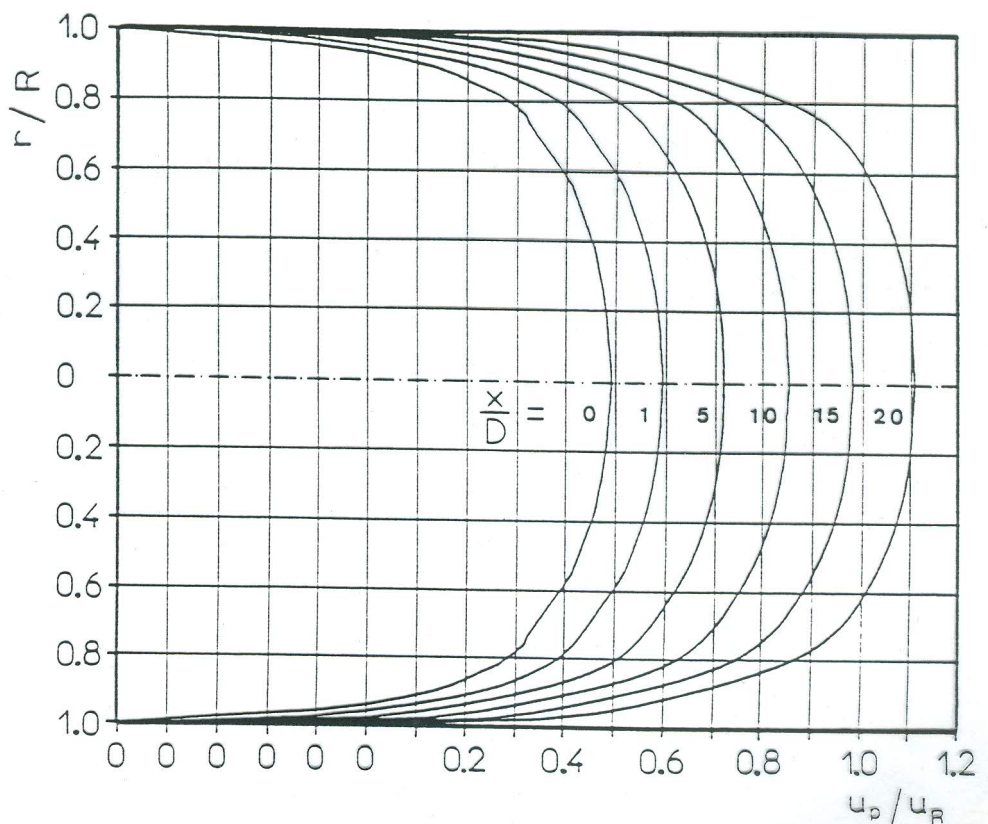
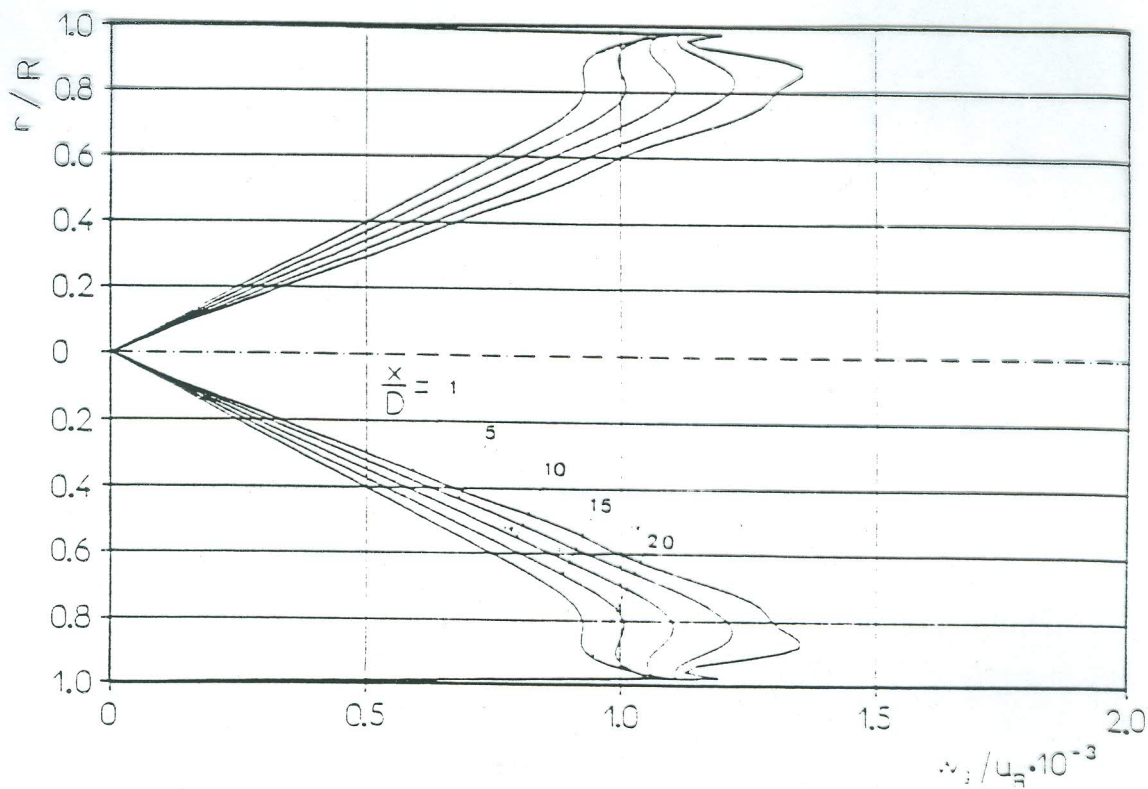


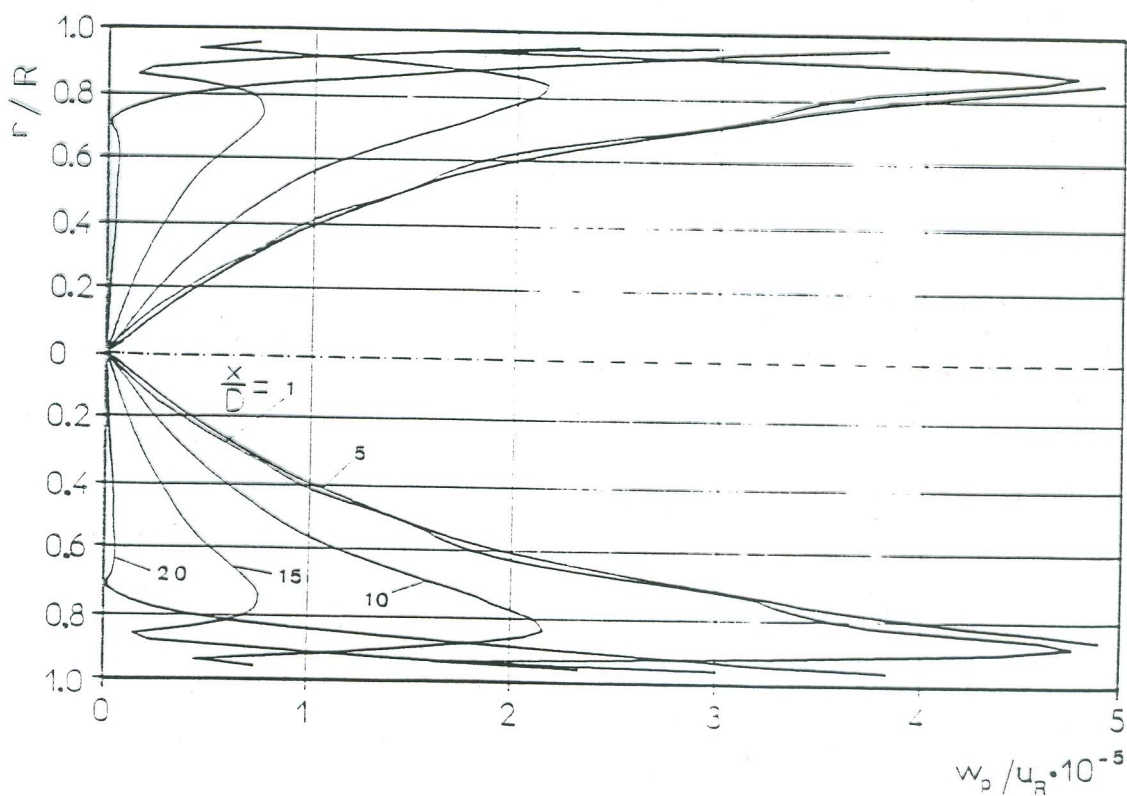
Σχήμα 6.1: Ανάπτυξη της αξονικής ταχύτητας του αέρα σε ροή αέρα-σωματιδίων σε αγωγό κυκλικής διατομής.



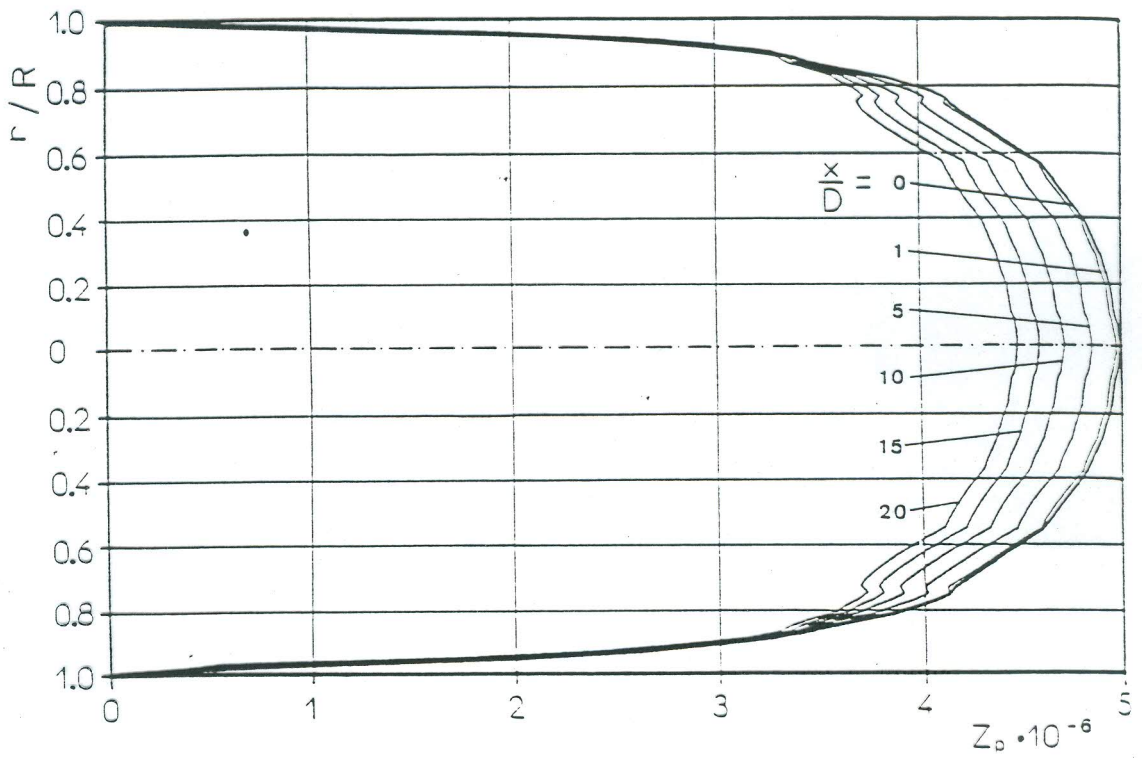
Σχήμα 6.2: Ανάπτυξη της αξονικής ταχύτητας των σωματιδίων σε ροή αέρα-σωματιδίων σε αγωγό κυκλικής διατομής.



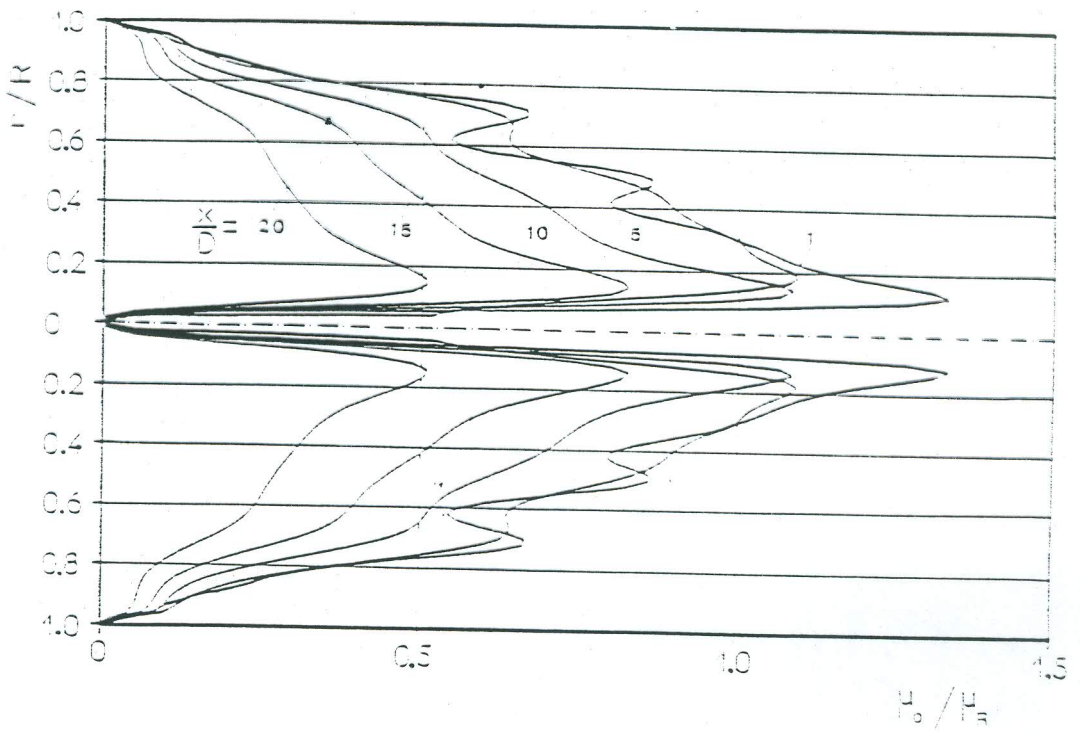
Σχήμα 6.3: Ανάπτυξη της ακτινικής ταχύτητας του νερού σε ροή αέρα-σωματιδίων σε αγωγό κυκλικής διατομής.



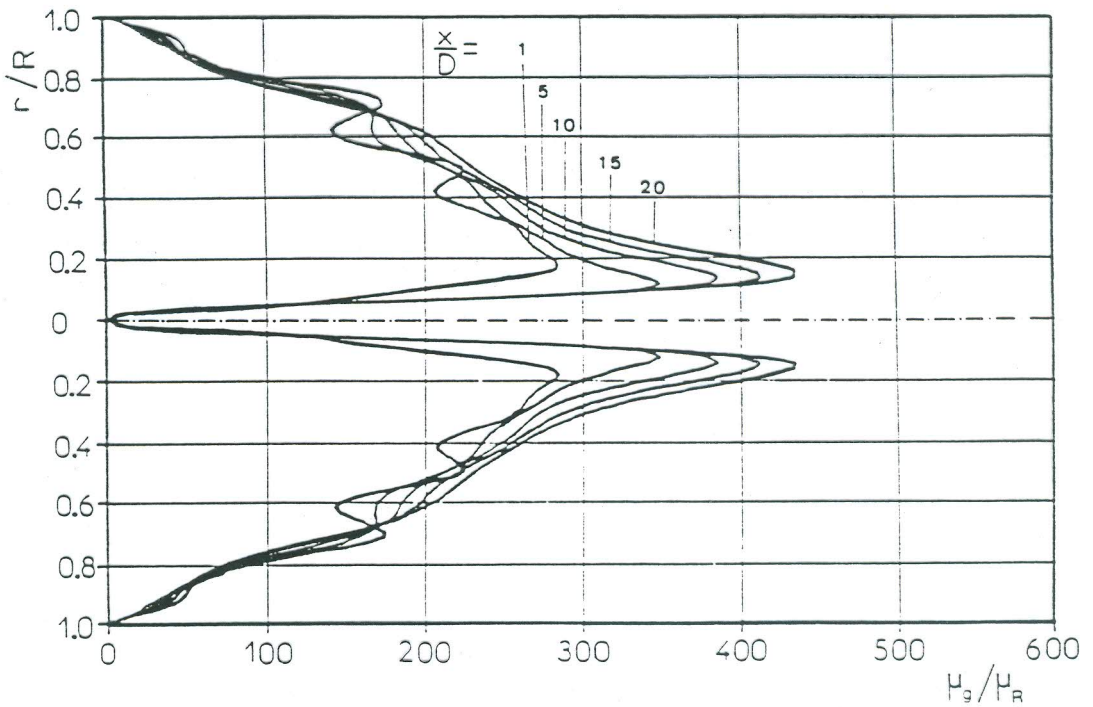
Σχήμα 6.4: Ανάπτυξη της ακτινικής ταχύτητας των σωματιδίων σε ροή αέρα-σωματιδίων σε αγωγό κυκλικής διατομής.



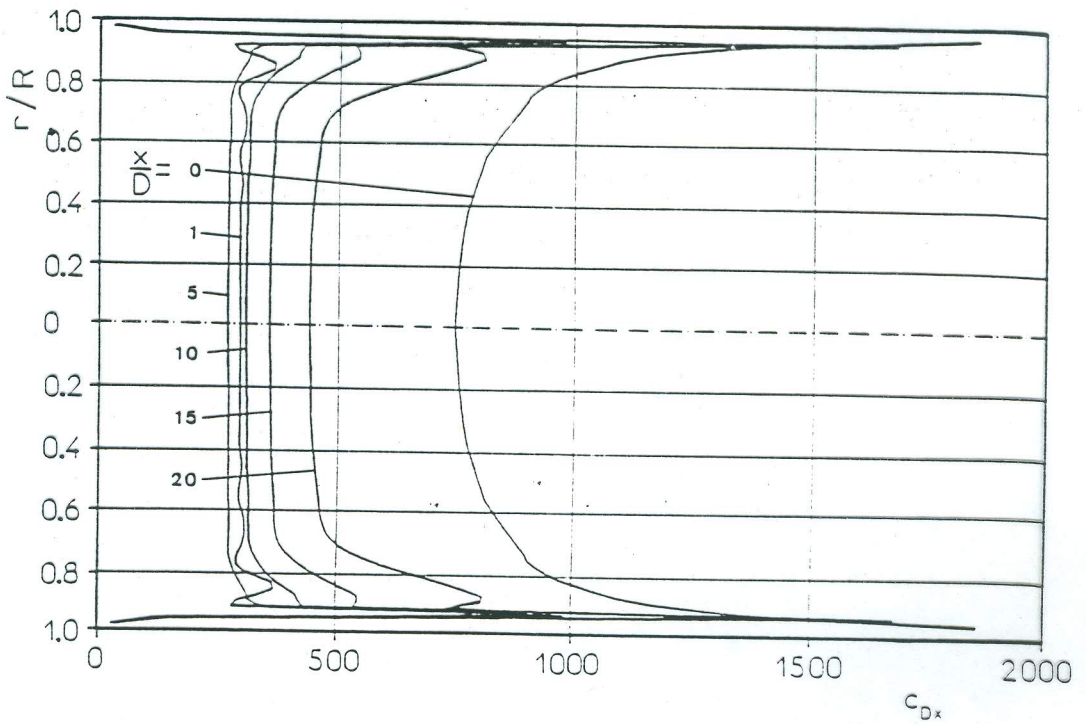
Σχήμα 6.5: Ανάπτυξη της ογκομετρικής συγκέντρωσης των σωματιδίων σε ροή αέρα-σωματιδίων σε αγωγό κυκλικής διατομής.



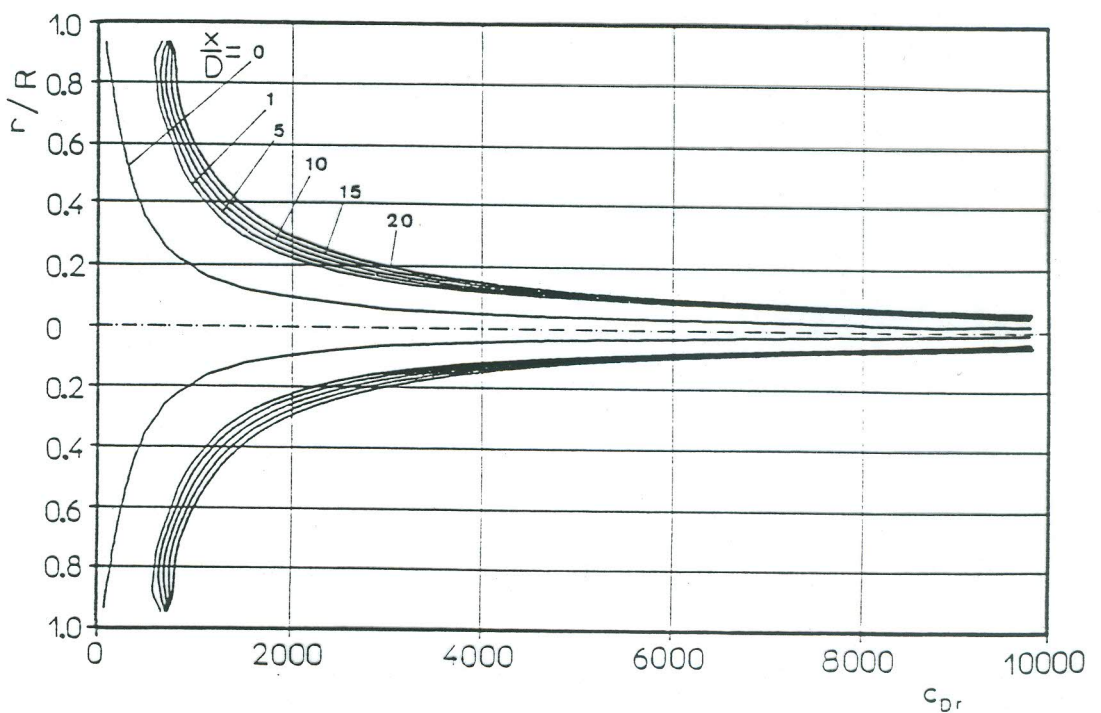
Σχήμα 6.7: Κατανομές ιζώδους τύρβης των σωματιδίων σε ροή αέρα-σωματιδίων σε αγωγό κυκλικής διατομής.



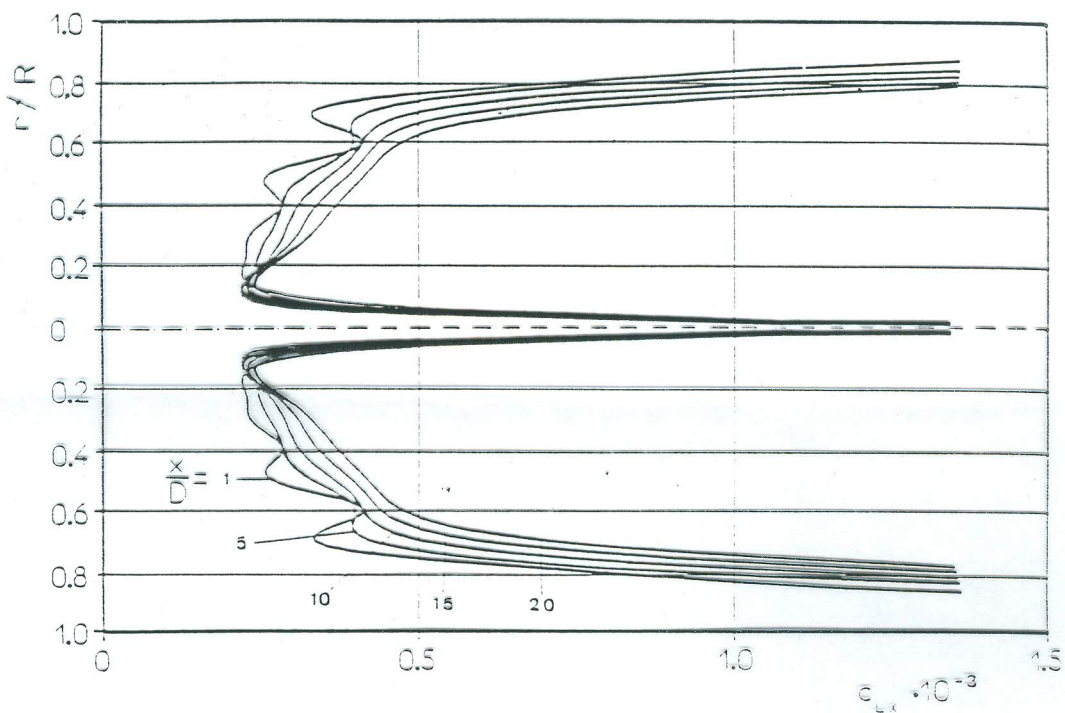
Σχήμα 6.6: Κατανομές ιζώδους τύρβης του αέρα σε ροή αέρα-σωματιδίων σε αγωγό κυκλικής διατομής.



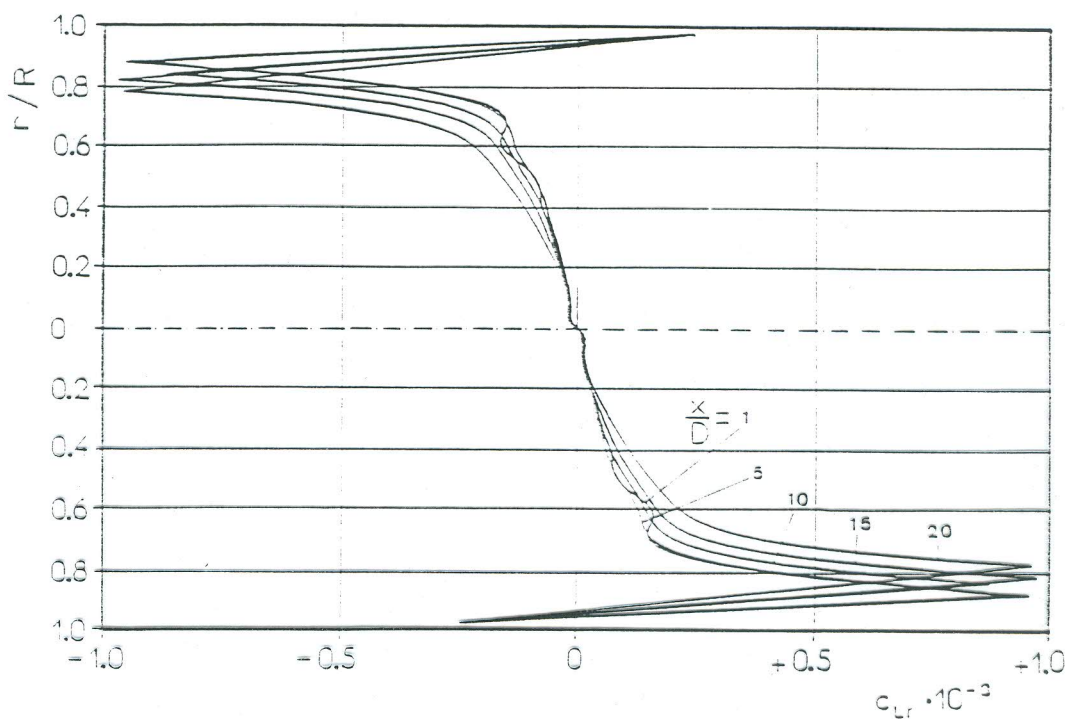
Σχήμα 6.8: Κατανομές του αξονικού συντελεστή αντίστασης των σωματιδίων σε ροή αέρα-σωματιδίων σε αγωγό κυκλικής διατομής.



Σχήμα 6.9: Κατανομές του ακτινικού συντελεστή αντίστασης των σωματιδίων σε ροή αέρα-σωματιδίων σε αγωγό κυκλικής διατομής.

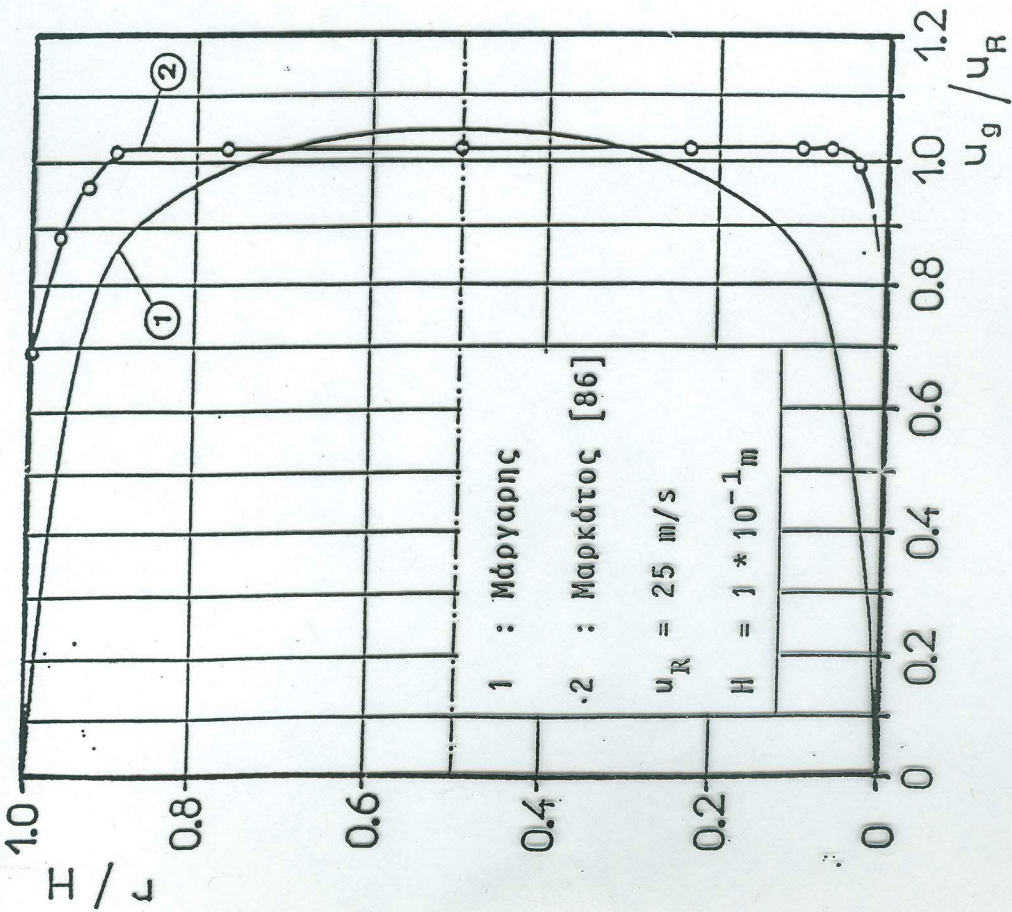
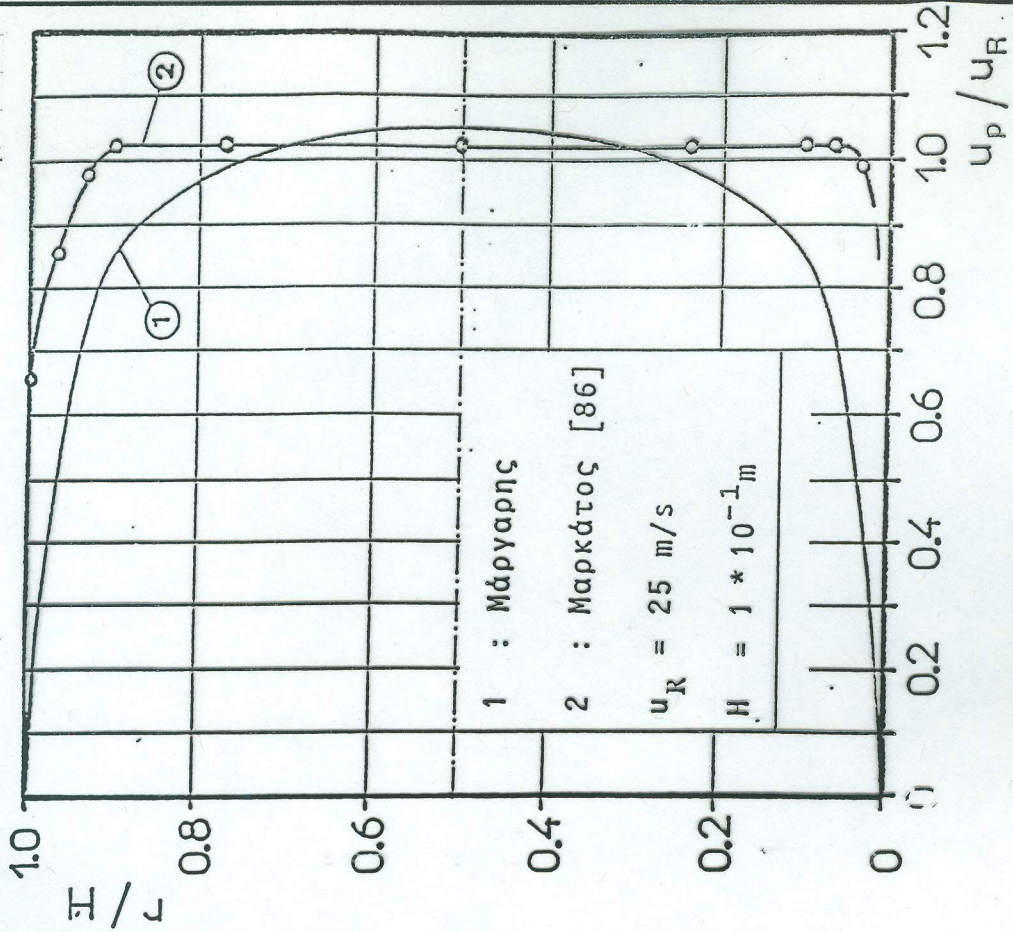


Σχήμα 6.10: Κατανομές του αξονικού συντελεστή αεροδυναμικής άνωσης των σωματιδίων σε ροή αέρα-σωματιδίων σε αγωγό κυκλικής διατομής.



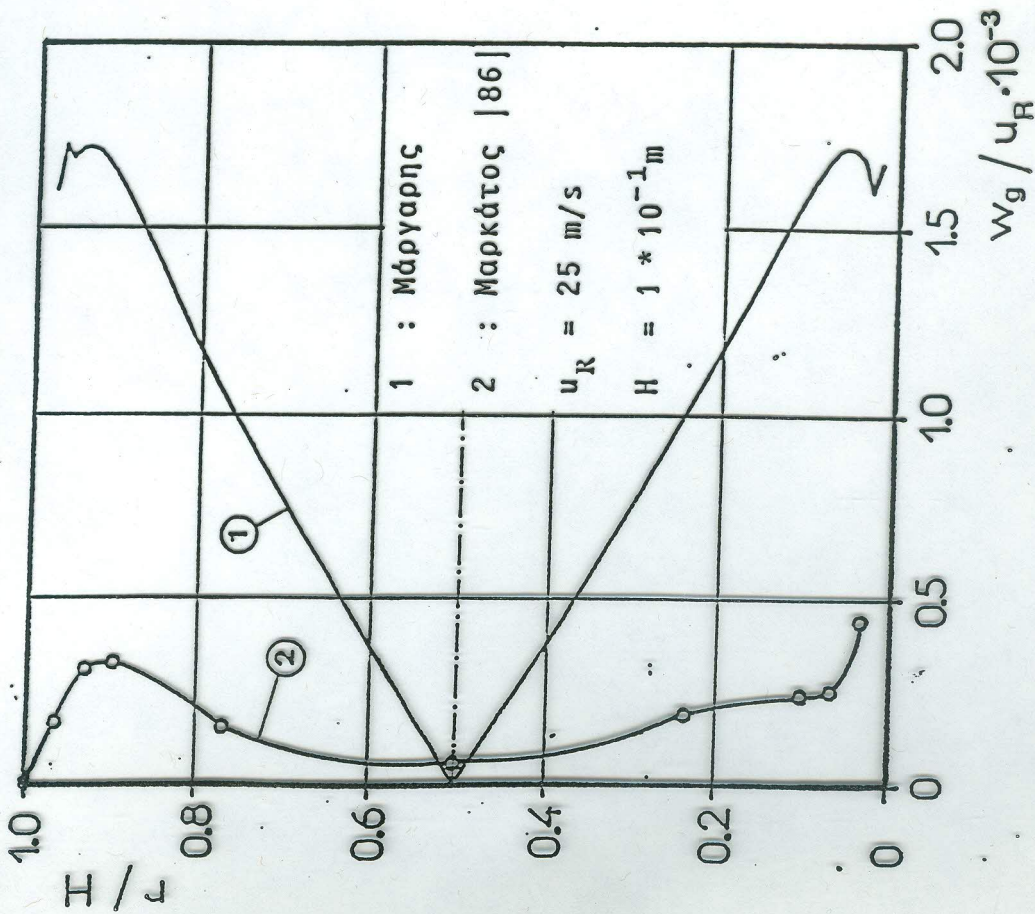
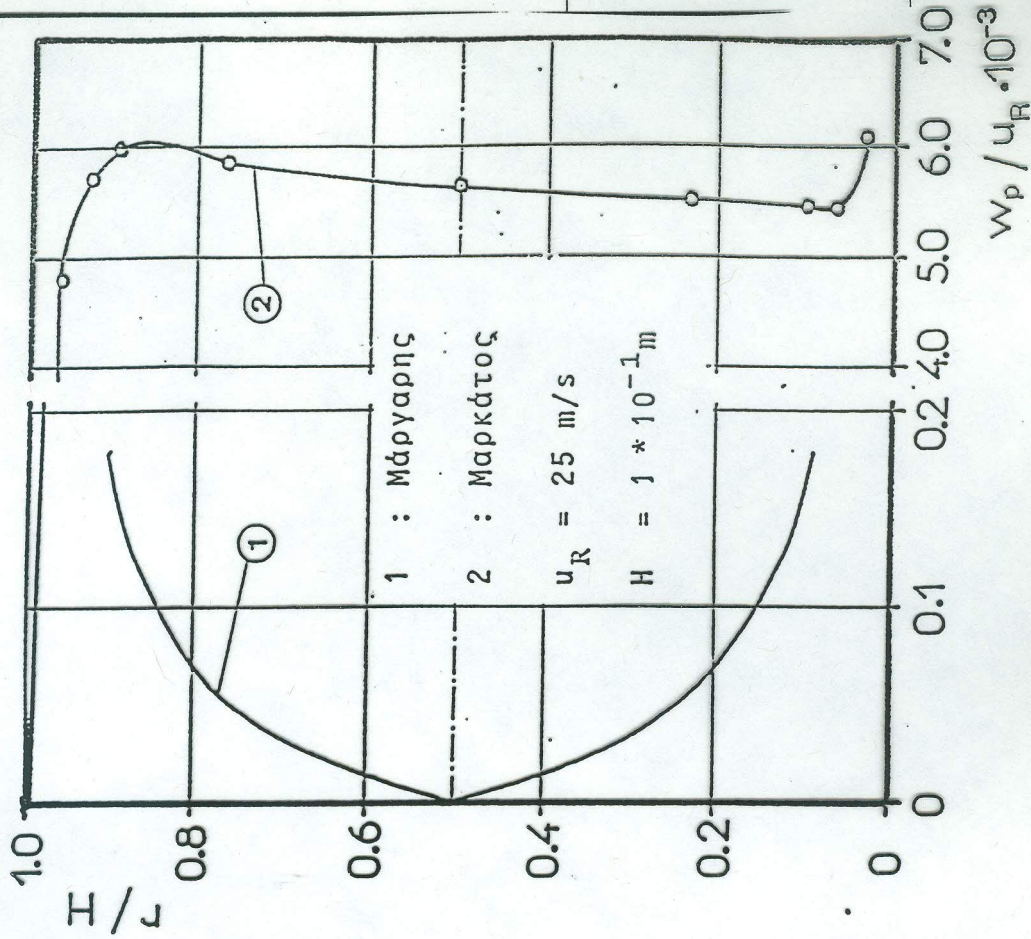
Σχήμα 6.11: Κατανομές του ακτινικού συντελεστή αεροδυναμικής άνωσης των σωματιδίων σε ροή αέρα-σωματιδίων σε αγωγό κυκλικής διατομής.

Subject	Date	Project
	Author	Report



Σχ.15 . Συγκριση θεωρητικων κατανομων αξονικων ταχυτητων αερα και σωματιδίων σε ροη αερα σωματιδίων μεταξύ παράλληλων πλακών.

Subject	Date	Project
	Author	Report



Σχ. 16.. Συγκριση θεωρητικων κατανομων ακτινικων ταχυτητων αερα και σωματιδιων σε ροη αερα σωματιδιων μεταξυ παραλληλων πλακων.

Subject

Date

Project

Author

Report

1 : Μάργαρης

$u_R = 25 \text{ m/s}$

$D = 1 \cdot 10^{-1} \text{ m}$

$d_p = 2 \cdot 10^{-5} \text{ m}$

2 : Scott |27|

$u_R = 20 \text{ m/s}$

$D = 1.55 \cdot 10^{-1} \text{ m}$

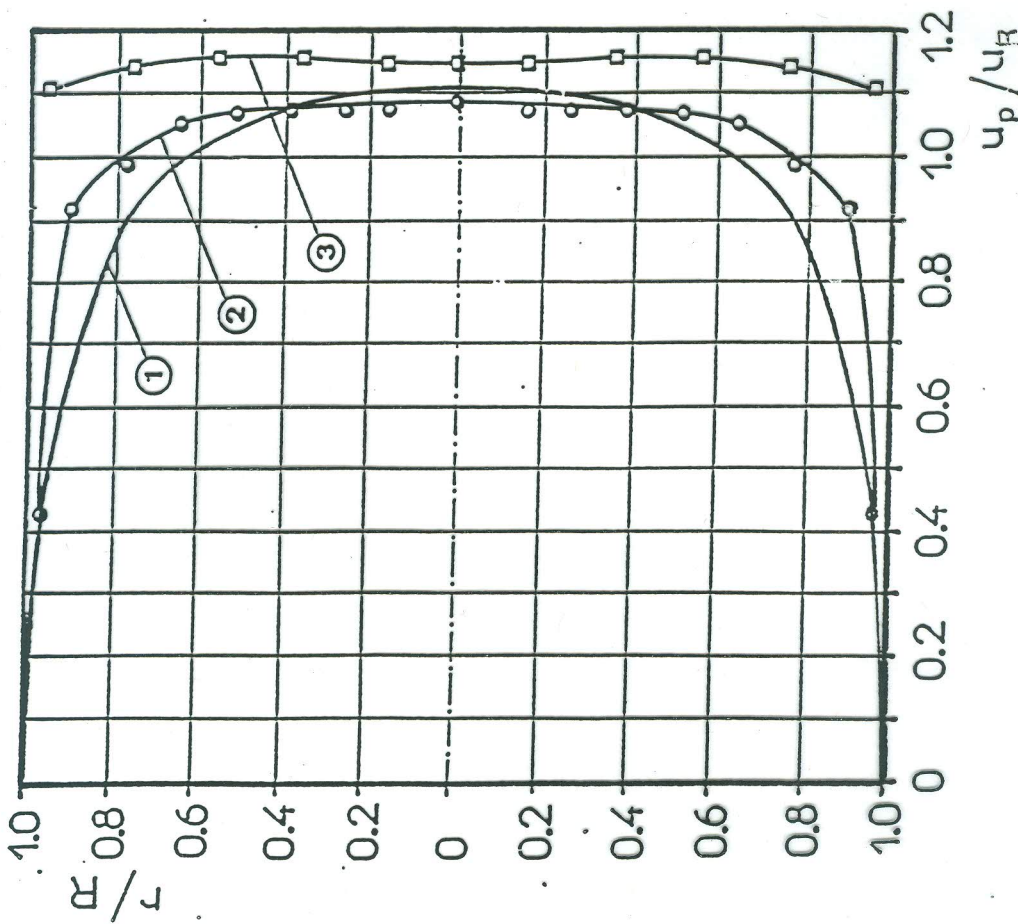
$d_p = 4 \cdot 10^{-3} \text{ m}$

3 : Scott |27|

$u_R = 20 \text{ m/s}$

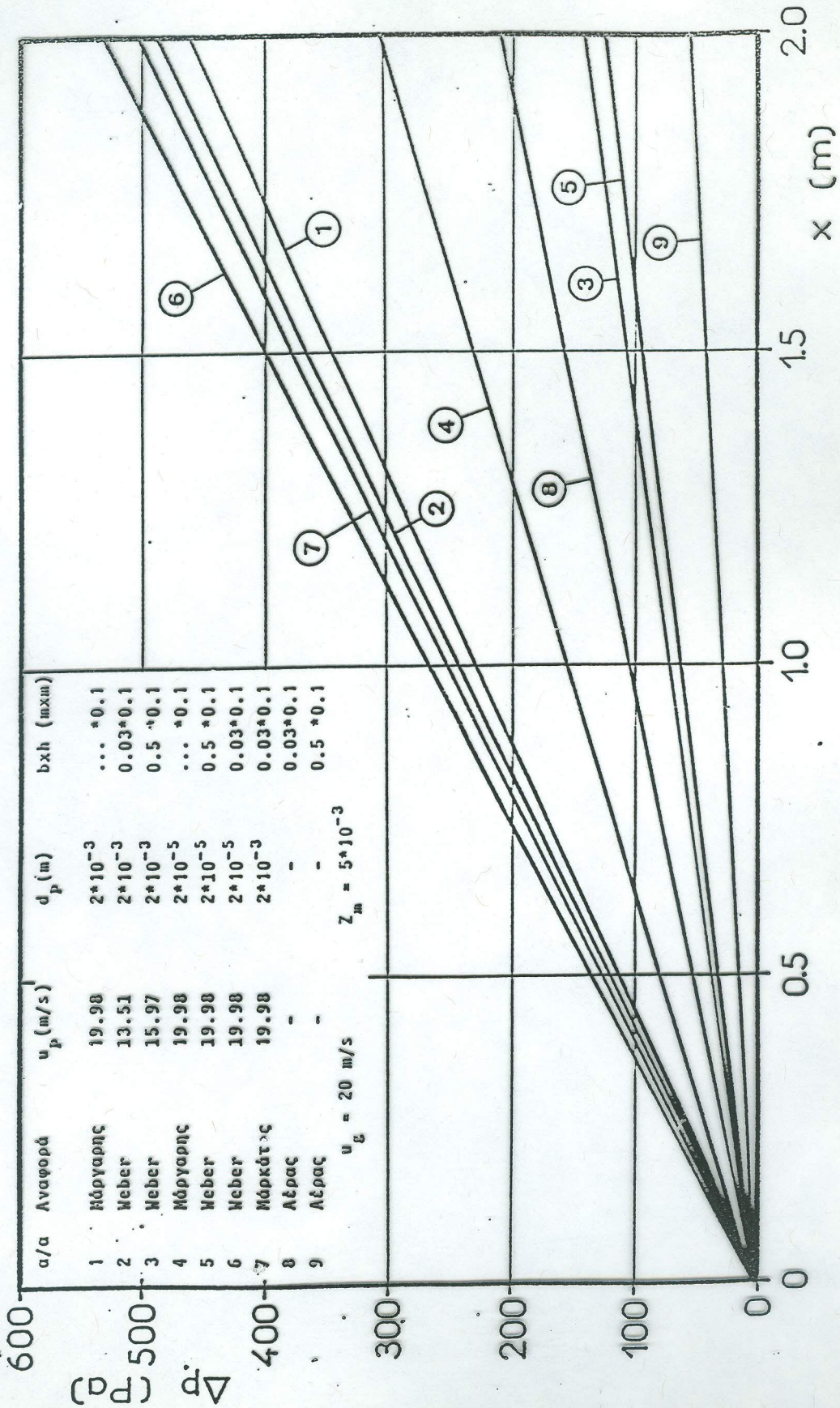
$D = 1 \cdot 10^{-1} \text{ m}$

$d_p = 4 \cdot 10^{-3} \text{ m}$



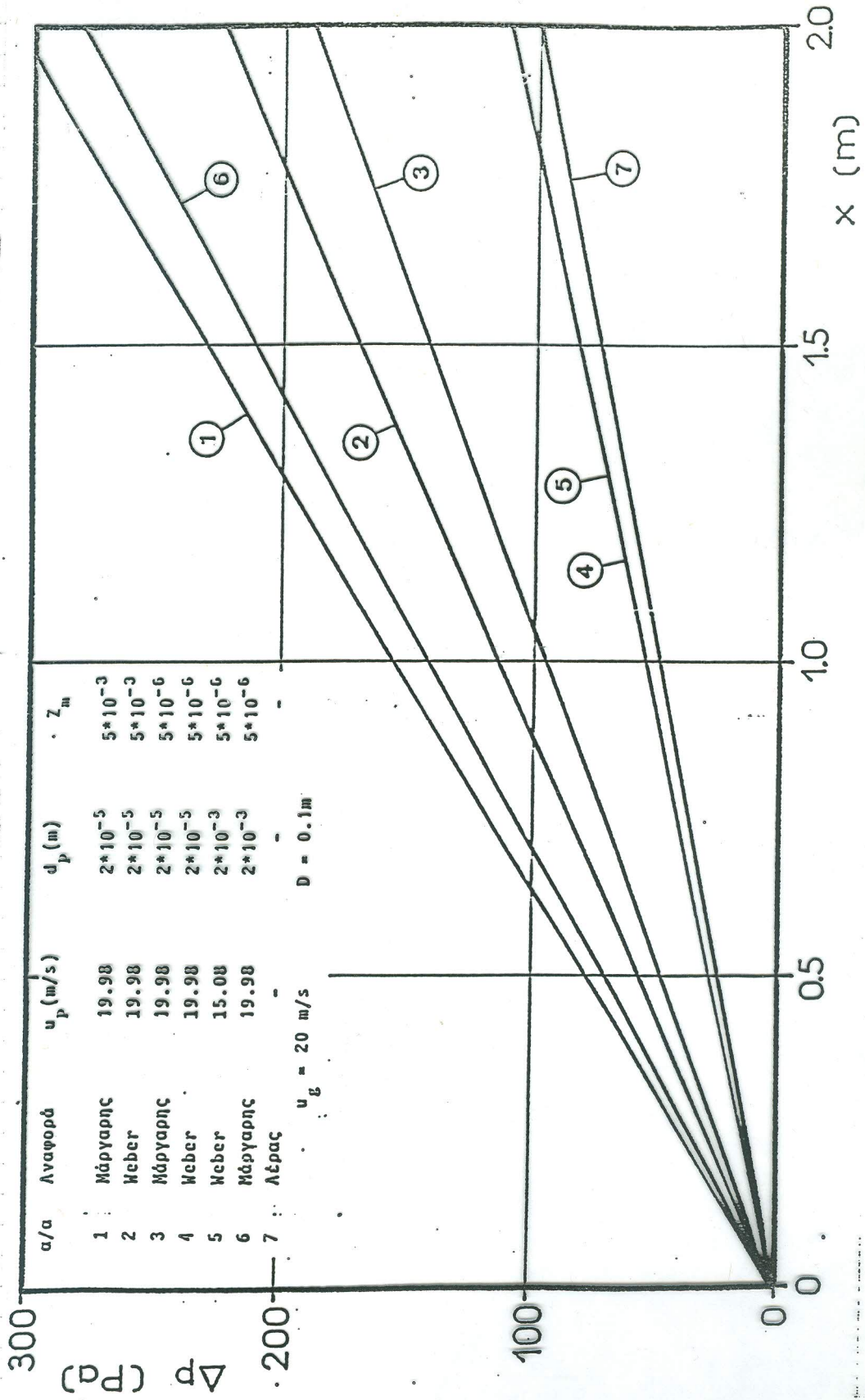
Σχ. 17. Σύγκριση θεωρητικών και πειραματικών κατανομών της αξονικής ταχύτητας των σωματιδίων σε ροή αέρα σωματιδίων σε αγωγο κυκλικής διατομής.

Subject	Date	Project
	Author	Report



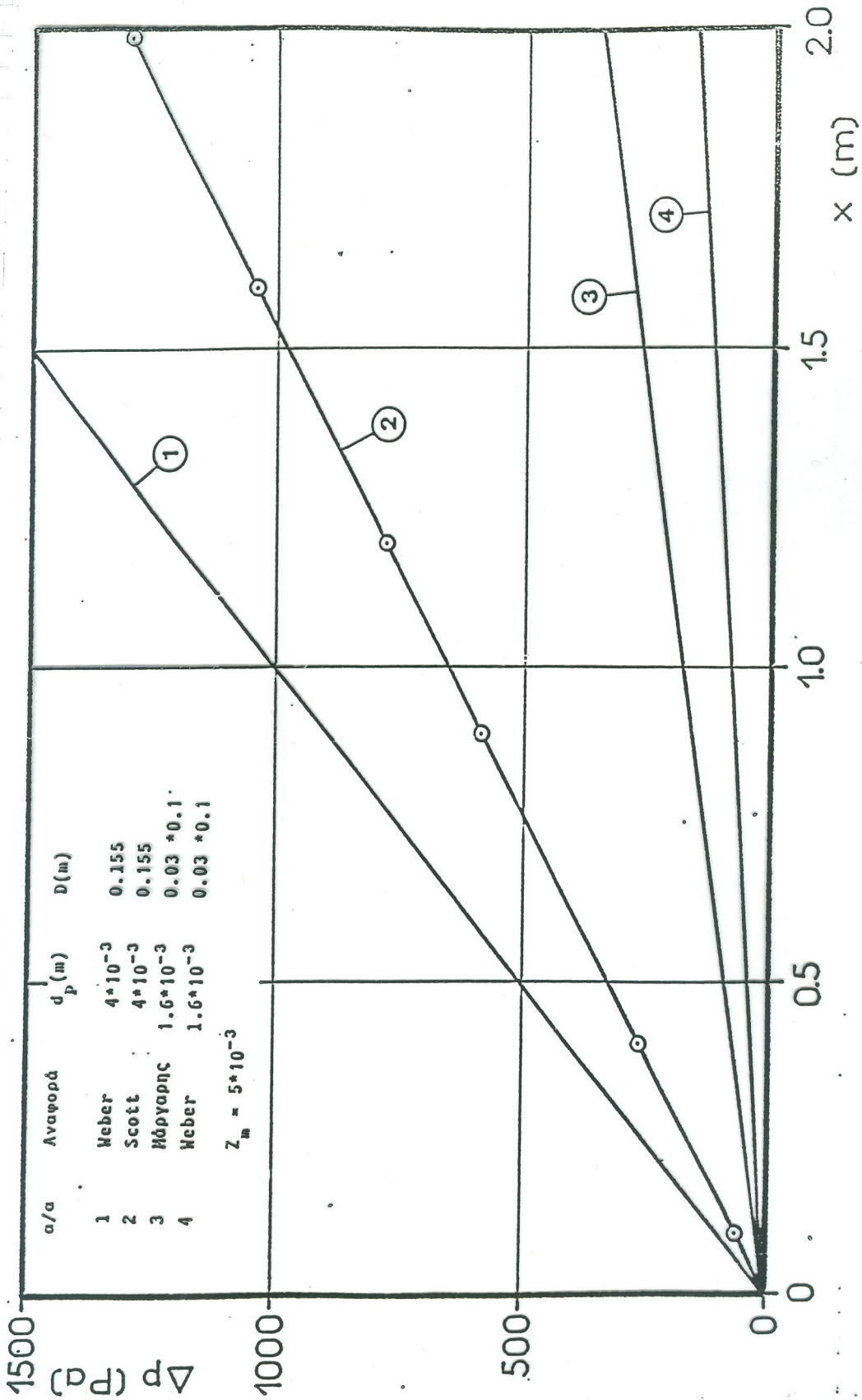
Σχ. 1β. Συγκριτική απομείων πύεστη σε ροή αέρα σεματιδίων μεταξύ παραλληλων πλακων.

Subject	Date	Project
	Author	Report



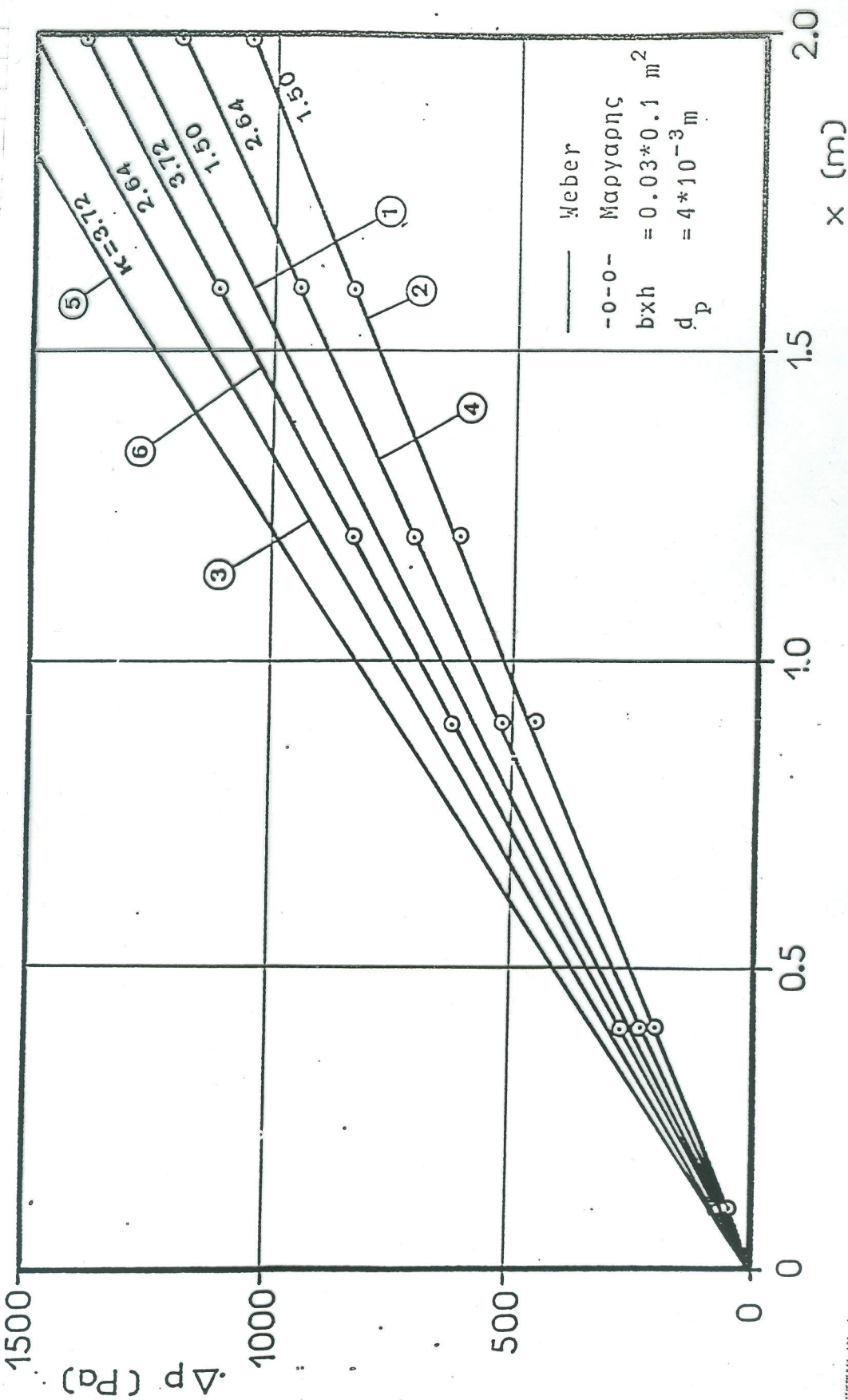
Σχ. 10. Συγκριτική αποβλήτων πτώσης σε ροή αέρα σωματιδίων σε αγωγό κυκλικής διατομής.

Subject	Date	Project
	Author	Report



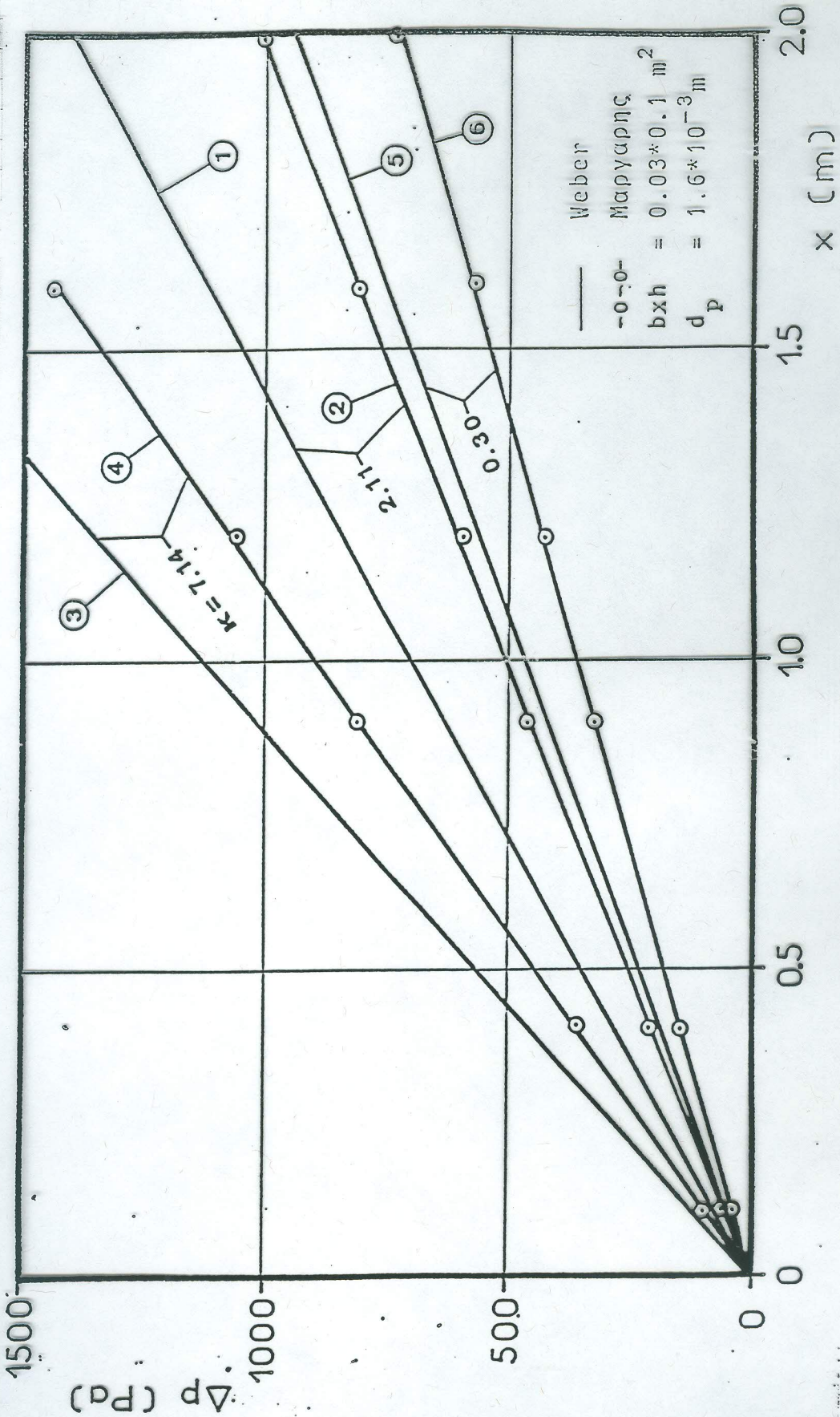
Σχ. 20. Σύγκριση θεωρητικών και πειραματικών κατανομών απωλειών πτώσης σε ροή αερίων σε αγωγό ορθογώνιου και κυκλικού διατομής.

Subject	Date	Project
	Author	Report



Σχ. 2.1.- Συγκριση θεωρητικων και πειραματικων κατανομων απωλειων πιεσης σε ροη αερα σεματιδίων σε αγωγο ορθογωνικης διατομής για διαφορους λογους μιζης.

Subject	Date	Project
	Author	Report



Σχ. 22. Συγκριση θεωρητικων και πειραματικων κατανομων απωλειων πιεσης σε ροη αερα σωματιδίων σε αγωγο ορθογωνιακας διατομης για διαφορετους λογους μιξτης.